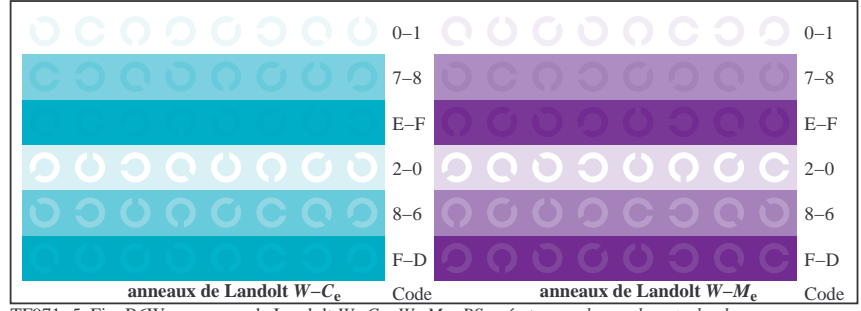


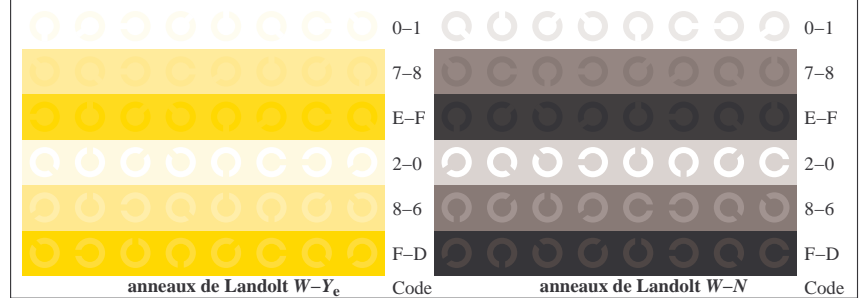
TF971-1, Fig. B4We: 16 paliers équidistants $W-C_e; W-M_e; W-Y_e; W-N$; $rgb/cmy0 \rightarrow rgb_e$ setrgbcolor

+-.:		lmno		pqrs		tuvw	
xyz;		hijk		lmno		pqrs	
tuvw		defg		hijk		lmno	
pqrs		!abc		+-.:		xyz;	
lmno		xyz;		tuvw		defg	
hijk		tuvw		!abc		6	$N C_e M_e Y_e Z$
defg		pqrs		8		$N C_e M_e Y_e Z$	
!abc		10				$N C_e M_e Y_e Z$	

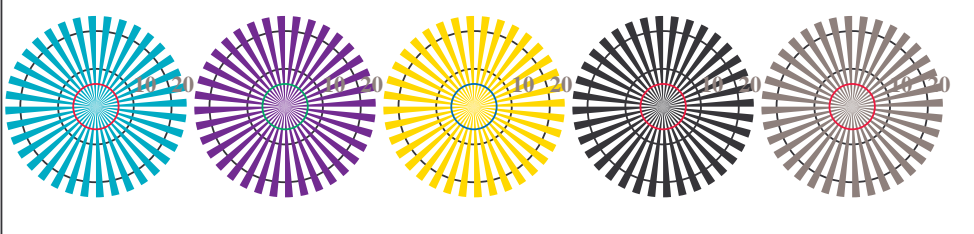
TF971-3, Fig. B5We: code et anneau de Landolt N ; C_e ; M_e ; Y_e ; Z ; PS opérateur: $rgb \rightarrow rgb_e$ setrgbcolor



TF971-5, Fig. B6We: anneaux de Landolt $W-C_e$; $W-M_e$; $W-Y_e$; $W-N$; PS opérateur: $rgb \rightarrow rgb_e$ setrgbcolor

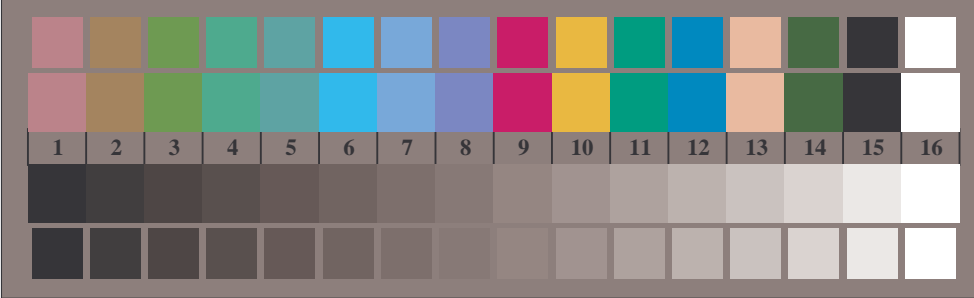


TF971-7, Fig. B7We: anneaux de Landolt $W-Y_e$; $W-N$; PS opérateur: $rgb \rightarrow rgb_e$ setrgbcolor



étoile Siemens $W-C_e$ étoile Siemens $W-M_e$ étoile Siemens $W-Y_e$ étoile Siemens $W-N$ étoile Siemens $W-Z$

TF970-5, Fig. B2We: étoile de Siemens $W-C_e$; $W-M_e$; $W-Y_e$; $W-N$; PS opérateur: $rgb \rightarrow rgb_e$ setrgbcolor



TF970-7, Fig. B3We: 14 CIE test couleurs et 2 + 16 paliers de gris (sf); PS opérateur: $rgb/cmy0 \rightarrow rgb_e$ setrgbcolor